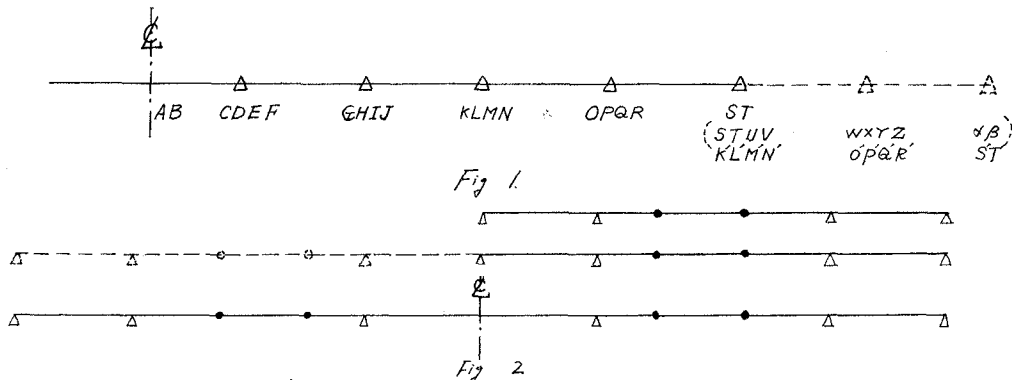


# I-21 マスパン桁の自由振動

早稲田大学 正員 平島政治

さちに<sup>(1)(2)</sup>著者はオ1図のようなマスパン桁の振動方程式が、オ1式のように表めされることを示した。オ1図はスパン方向に対稱軸を持つ形式を示してゐるが、対稱軸を持たない一般のマスパン桁の場合には、オ2図に示すような考え方で假想的に桁を延長して考察すれば、オ1図の場合に含まれる。



$$\begin{aligned} \text{対稱型振動} & T(\ell\ell) \\ \text{斜対稱型振動} & C(\ell\ell) \end{aligned} = F(\ell_1, \ell_2, \ell_3, \dots) = f(Y_{ij}) \quad \text{オ1式}$$

$$\begin{aligned} Y_{ij} &= \psi_{ij}(EH)\delta - \psi_{ij}(EI)\varepsilon \\ \delta &= \psi_{ij}(IJ)\delta_{ij} \\ \varepsilon &= \psi_{ij}(HJ)\delta_{ij} \\ \delta_{ij} &= \psi_{ij}(KL)\rho - \psi_{ij}(KM)\mu \\ \rho &= \psi_{ij}(MN)\varphi \\ \mu &= \psi_{ij}(LN)\varphi \\ \varphi &= \psi_{ij}(OP)\gamma - \psi_{ij}(OQ)\zeta \\ \gamma &= \psi_{ij}(QR)\xi_{ij} \\ \zeta &= \psi_{ij}(PR)\xi_{ij} \\ \xi_{ij} &= \psi_{ij}(ST) \end{aligned}$$

$$\text{ここで, } \psi_{ij}(AB) = A_i B_j - A_j B_i$$

$$\xi_{ij} = \begin{vmatrix} S_i & S_j \\ T_i & T_j \end{vmatrix}$$

$$\begin{aligned} \varepsilon_{ij} &= \begin{vmatrix} S_i & S_j & 0 & 0 & 0 & 0 & 0 & 0 & 0 & 0 \\ T_i & T_j & T_{21} & T_{22} & T_{23} & T_{24} & 0 & 0 & 0 & 0 \\ U_i & U_j & U_{21} & U_{22} & U_{23} & U_{24} & 0 & 0 & 0 & 0 \\ 0 & 0 & V_{21} & V_{22} & V_{23} & V_{24} & 0 & 0 & 0 & 0 \\ 0 & 0 & W_{21} & W_{22} & W_{23} & W_{24} & 0 & 0 & 0 & 0 \\ 0 & 0 & X_{21} & X_{22} & X_{23} & X_{24} & X_{25} & X_{26} & X_{27} & X_{28} \\ 0 & 0 & Y_{21} & Y_{22} & Y_{23} & Y_{24} & Y_{25} & Y_{26} & Y_{27} & Y_{28} \\ 0 & 0 & Z_{25} & Z_{26} & Z_{27} & Z_{28} & & & & \\ 0 & 0 & & & & & & & & \\ 0 & 0 & 0 & 0 & 0 & 0 & \beta_{25} & \beta_{26} & \beta_{27} & \beta_{28} \end{vmatrix} \\ \delta_{ij} &= \begin{vmatrix} K_i & K_j & 0 & 0 & 0 & 0 & 0 & 0 & 0 & 0 \\ L_i & L_j & L_{13} & L_{14} & L_{15} & L_{16} & 0 & 0 & 0 & 0 \\ M_i & M_j & M_{13} & M_{14} & M_{15} & M_{16} & 0 & 0 & 0 & 0 \\ 0 & 0 & N_{13} & N_{14} & N_{15} & N_{16} & 0 & 0 & 0 & 0 \\ 0 & 0 & O_{12} & O_{14} & O_{15} & O_{16} & 0 & 0 & 0 & 0 \\ 0 & 0 & P_{13} & P_{14} & P_{15} & P_{16} & P_{17} & P_{18} & P_{19} & P_{20} \\ 0 & 0 & Q_{13} & Q_{14} & Q_{15} & Q_{16} & Q_{17} & Q_{18} & Q_{19} & Q_{20} \\ 0 & 0 & R_{17} & R_{18} & R_{19} & R_{20} & & & & \\ 0 & 0 & S_{17} & S_{18} & S_{19} & S_{20} & & & & \\ 0 & 0 & T_{17} & T_{18} & T_{19} & T_{20} & & & & \end{vmatrix} \end{aligned}$$

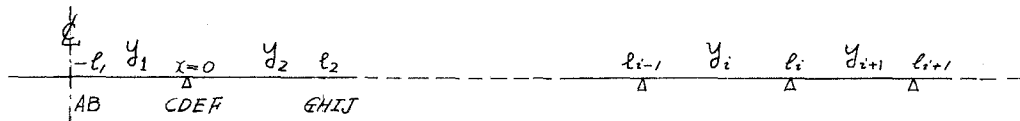
オ1図のようならスパン数の増加により、 $\xi_{ij}$ は上式のようになります。前出の $\delta_{ij}$ と同じ形である。従ってsuffixを書き換えることにより展開式が求められマスパン桁の振動特性式を直ちに求める。

(1) 土木学会論文集(58号) 「マスパン桁の振動方程式」

(2) 早稲田大学理工研報告(オ7輯) 「桁の振動方程式」

なお、本研究は、文部省科学研究費(各個研究)による研究の一部である。

次に、多スパン桁の中の任意スパンの正規函数と一般的に表示することを試みる。



$$\left. \begin{array}{l} \left\{ \begin{array}{l} C_{11}A_1 + C_{12}A_2 + C_{13}A_3 + C_{14}A_4 = 0 \\ C_{11}B_1 + C_{12}B_2 + C_{13}B_3 + C_{14}B_4 = 0 \\ C_{11}C_1 + C_{12}C_2 + C_{13}C_3 + C_{14}C_4 = 0 \\ C_{11}D_1 + C_{12}D_2 + C_{13}D_3 + C_{14}D_4 = C_{21}D_5 + C_{22}D_6 + C_{23}D_7 + C_{24}D_8 \end{array} \right\} \\ C_{11}E_1 + C_{12}E_2 + C_{13}E_3 + C_{14}E_4 = C_{21}E_5 + C_{22}E_6 + C_{23}E_7 + C_{24}E_8 \\ C_{11}F_1 + C_{12}F_2 + C_{13}F_3 + C_{14}F_4 = 0 \\ C_{11}G_5 + C_{12}G_6 + C_{13}G_7 + C_{14}G_8 = 0 \end{array} \right\}$$

$$y_i = C_{i1} \cdot \cosh \cdot \rho \chi + C_{i2} \cdot \sinh \cdot \rho \chi + C_{i3} \cdot \cos \cdot \rho \chi + C_{i4} \cdot \sin \cdot \rho \chi$$

$$\begin{aligned} C_{i1} D_i &= 2 \alpha_i \cdot \tilde{Y}_{i-1} \cdot A_{i-1} \cdot C_{i-(i-1)} + \beta_i \cdot \tilde{Z}_{i-1} \cdot (Y_i \cdot B_{i-1} \cdot C_{i-(i-1)} + \delta A_{i-1} \cdot D_{i-(i-1)} + A_i) \\ C_{i2} D_i &= 2 \gamma_i \cdot \tilde{Y}_{i-1} \cdot B_{i-1} \cdot C_{i-(i-1)} + \beta_i \cdot \tilde{Z}_{i-1} \cdot (Y_i \cdot A_{i-1} \cdot C_{i-(i-1)} + \delta B_{i-1} \cdot D_{i-(i-1)} + B_i) \\ C_{i3} D_i &= 2 \kappa_i \cdot \tilde{Y}_{i-1} \cdot C_{i-1} \cdot A_{i-(i-1)} + \beta_i \cdot \tilde{Z}_{i-1} \cdot (Y_i \cdot D_{i-1} \cdot A_{i-(i-1)} + \delta C_{i-1} \cdot B_{i-(i-1)} + C_i) \\ C_{i4} D_i &= 2 \lambda_i \cdot \tilde{Y}_{i-1} \cdot D_{i-1} \cdot A_{i-(i-1)} + \beta_i \cdot \tilde{Z}_{i-1} \cdot (Y_i \cdot C_{i-1} \cdot A_{i-(i-1)} + \delta D_{i-1} \cdot B_{i-(i-1)} + D_i) \end{aligned}$$

∴ は,

$$D_i = 2(\lambda C_{i-(i-1)} + \mu A_{i-(i-1)})$$

$$\begin{array}{ll} A_i = \sinh \cdot \rho \ell_i & A_{i-j} = \sinh \cdot (\rho \ell_i - \rho \ell_j) \\ \beta_i = \cosh \cdot \rho \ell_i & B_{i-j} = \cosh \cdot (\rho \ell_i - \rho \ell_j) \\ C_i = \sin \cdot \rho \ell_i & C_{i-j} = \sin \cdot (\rho \ell_i - \rho \ell_j) \\ D_i = \cos \cdot \rho \ell_i & D_{i-j} = \cos \cdot (\rho \ell_i - \rho \ell_j) \end{array}$$

	$\lambda$	$\mu$	$\alpha_1$	$\alpha_2$	$\alpha_3$	$\alpha_4$	$\beta_1$	$\beta_2$	$\beta_3$	$\beta_4$
支点—支点	-1	+1	+1	-1	-1	+1	+1	-1	+1	-1
支点—ヒンジ	-1	-1	+1	-1	+1	-1	-1	+1	+1	-1
ヒンジ—ヒンジ	+1	-1	-1	+1	-1	+1	-1	+1	+1	-1
ヒンジ—支点	-1	-1	+1	-1	-1	+1	-1	+1	-1	+1

	$\gamma_1$	$\gamma_2$	$\gamma_3$	$\gamma_4$	$\delta$	$\tilde{Y}_{i-1}$	$\tilde{Z}_{i-1}$
支点—支点	-1	-1	-1	+1	-1	$\frac{1}{\rho^2} \cdot y''_{i-1}$	$\frac{1}{\rho^2} \cdot y'''_{i-1}$
支点—ヒンジ	+1	+1	+1	-1	+1	$\frac{1}{\rho^2} \cdot y''_{i-1}$	$\frac{1}{\rho^2} \cdot y'''_{i-1}$
ヒンジ—ヒンジ	-1	-1	-1	+1	-1	$\frac{1}{\rho^3} \cdot y''''_{i-1}$	$y_{i-1}$
ヒンジ—支点	+1	+1	+1	-1	+1	$\frac{1}{\rho^3} \cdot y''''_{i-1}$	$y_{i-1}$